



基于双尺度分析的脆性断裂应变梯度模型

饶一鹏^{1,2} 向美珍² 崔俊芝¹

¹中国科学院计算数学与科学工程计算研究所

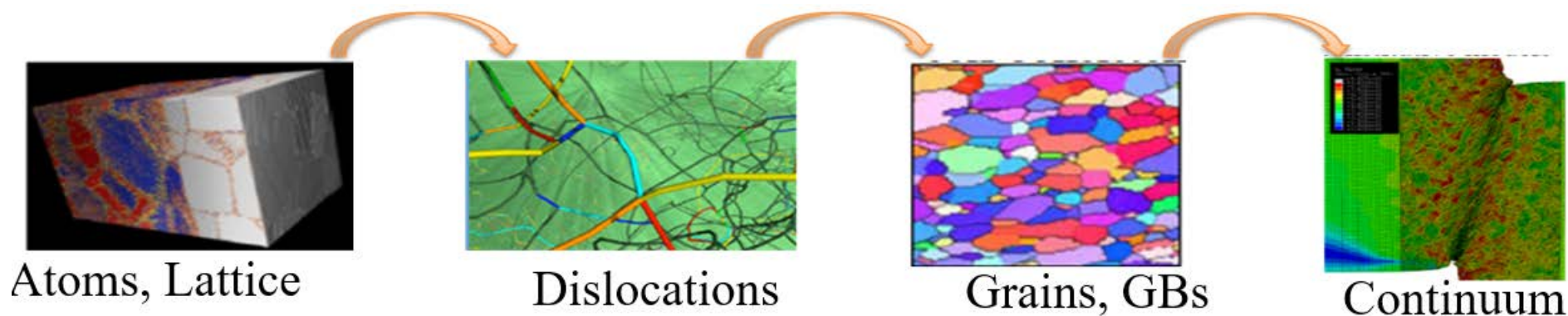
²北京应用物理与计算数学研究所

2023 年 1 月 7 日 线上报告

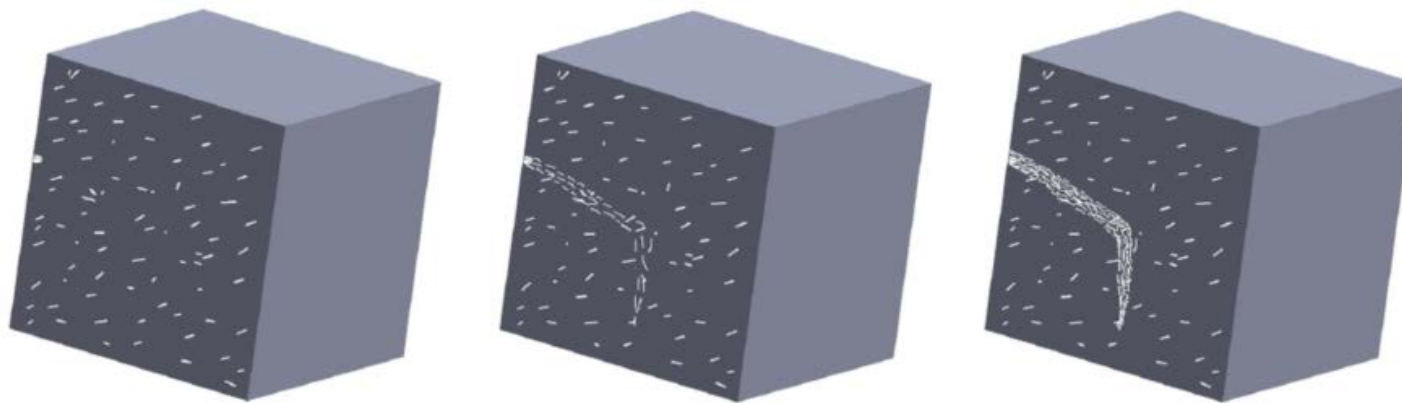
目录

1. 研究背景与意义
2. 双尺度渐进展开方法简介
3. 模型推导
4. 数值结果
5. 总结与展望

研究背景与意义



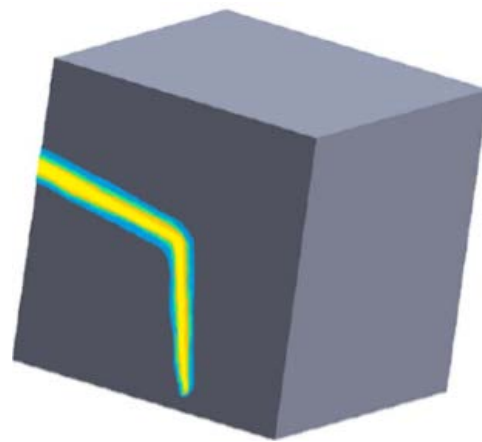
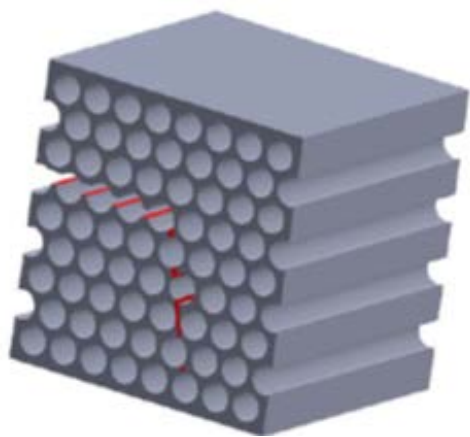
- 材料的断裂行为取决于材料的微结构。微结构对宏观断裂的影响是重要的、具有挑战性的基础科学问题，这类问题也往往伴随应变梯度与应变率效应。



- 微裂纹是脆性材料中最典型的微结构。

研究背景与意义

问题：如何在损伤断裂模拟中充分考虑细观尺度微结构分布形态？



- 直接数值模拟：分析每一个微结构受力断裂情况。网格剖分复杂，计算量大。
- 均匀化宏观损伤力学方法模拟：等效为均匀材料，用内部损伤变量 d 来描述材料局部状态。
 1. 如何得到依赖于内部微结构变量 d 的本构参数 $C(d)$ ？
 2. 建立包含微结构形态的断裂准则或损伤演化方程。

双尺度渐进展开方法简介

- 含微结构分布形态的连续介质力学方程:

$$\begin{cases} \frac{\partial}{\partial x_j} \left[C_{ijhk}^\varepsilon(\mathbf{x}) \frac{1}{2} \left(\frac{\partial u_h^\varepsilon(\mathbf{x})}{\partial x_k} + \frac{\partial u_k^\varepsilon(\mathbf{x})}{\partial x_h} \right) \right] = f_i(\mathbf{x}) & (i = 1, \dots, n) \\ \mathbf{u}^\varepsilon(\mathbf{x}) = \bar{\mathbf{u}}(\mathbf{x}) \end{cases}$$

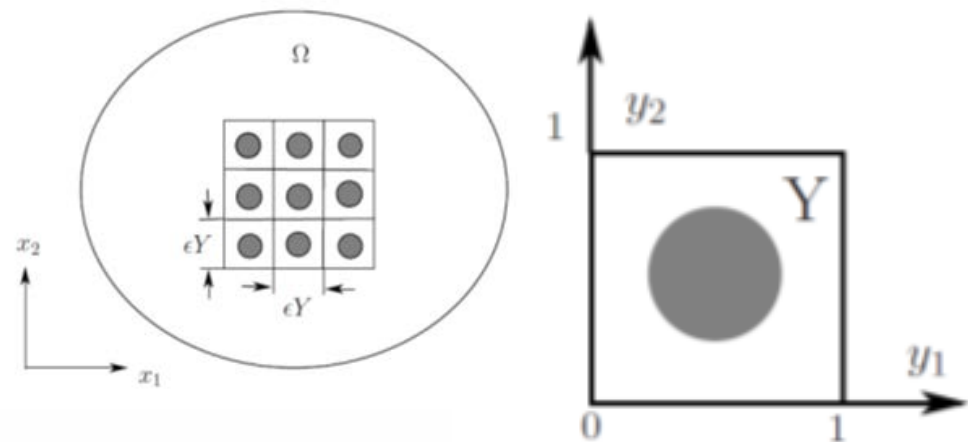
- 双尺度渐近展开解(Lions et al., 1960s):

$$\begin{aligned} \mathbf{u}^\varepsilon(\mathbf{x}) &= \mathbf{u}^0(\mathbf{x}) + \sum_{l=1}^{\infty} \varepsilon^l \sum_{\langle \alpha \rangle = l} \mathbf{N}_\alpha(\mathbf{y}) D_\alpha^l \mathbf{u}^0(\mathbf{x}) \\ &= \mathbf{u}^0(\mathbf{x}) + \varepsilon \sum_{\alpha_1=1}^n \mathbf{N}_{\alpha_1}(\mathbf{y}) \frac{\partial \mathbf{u}^0(\mathbf{x})}{\partial x_{\alpha_1}} + \varepsilon^2 \sum_{\alpha_1, \alpha_2=1}^n \mathbf{N}_{\alpha_1 \alpha_2}(\mathbf{y}) \frac{\partial^2 \mathbf{u}^0(\mathbf{x})}{\partial x_{\alpha_1} \partial x_{\alpha_2}} + \dots \end{aligned}$$

$\mathbf{y} = \mathbf{x}/\varepsilon$ 表示细观坐标 (物质点在参考周期单胞中的位置);

$\mathbf{N}_{\alpha_1 \alpha_2 \dots \alpha_n}$ 为定义在周期单胞 Y 上 PDE 的解 (又称为单胞函数)

\mathbf{u}^0 是宏观均匀化问题的解。

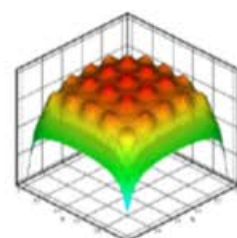
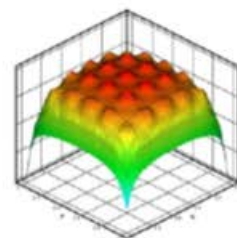
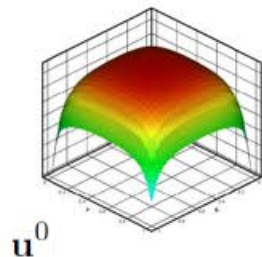


双尺度渐进展开方法简介

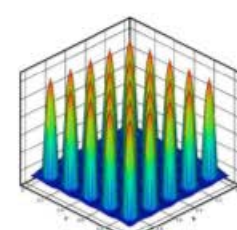
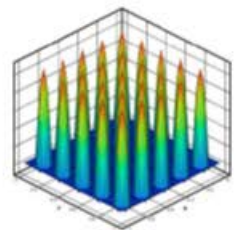
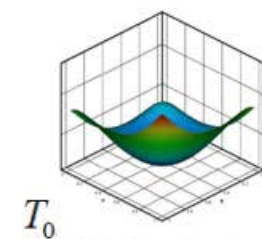
- 基于双尺度渐近展开理论的双尺度有限元方法（崔俊芝等）

宏观上求解均匀化方程得到 \mathbf{u}^0 ，细观上求解单胞方程并进行一阶或二阶修正*。

位移场:



温度场:



均匀化解

Two-scale FE（崔等）

Single-scale FE

二阶多尺度修正解的引入使得应力误差控制在 $O(\varepsilon)$ 量级，计算精度接近细尺度直接有限元计算，计算量与均匀材料的宏观有限元计算相当。

*杨自豪，西北工业大学博士论文，2014.

模型推导

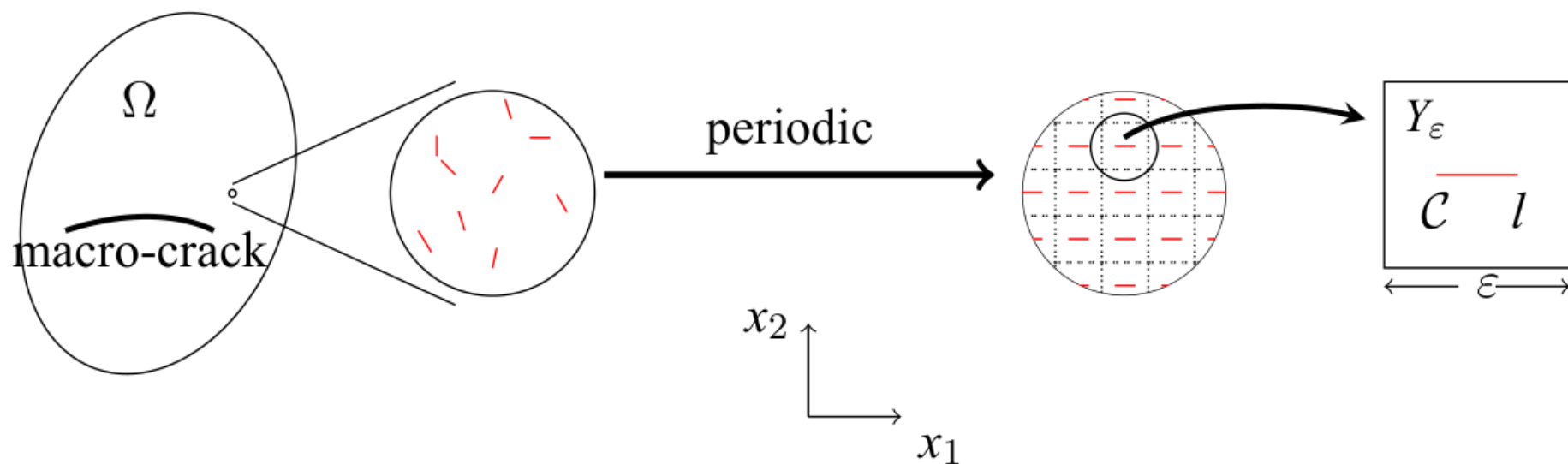


图 1: locally periodic microstructure.

- **简化:** 周期分布的长度为 l 的微裂纹。
- **思想:** 宏观物质点用微观无穷大周期性代表体积单元表征。
- **假设:** 裂纹均为双向等速率扩展, 且扩展方向与裂纹原始方向保持一致。

微裂纹的失稳满足Griffith准则: $G = G_c(v)$, 用 $d = l/\epsilon \in [0, 1]$ 来表示损伤变量。

模型推导

在 \mathbb{R}^2 上考虑周期性代表体积单元上的弹性力学方程：

$$\begin{cases} \frac{\partial \sigma_{ij}^\varepsilon}{\partial x_j} &= \rho \frac{\partial^2 u_i^\varepsilon}{\partial t^2} & \text{in } \mathbb{R}^2 \\ \sigma_{ij}^\varepsilon &= a_{ijkl} e_{kl}(\mathbf{u}^\varepsilon) \\ e_{ij}(\mathbf{u}^\varepsilon) &= \frac{1}{2} \left(\frac{\partial u_i^\varepsilon}{\partial x_j} + \frac{\partial u_j^\varepsilon}{\partial x_i} \right) \\ \boldsymbol{\sigma}^\varepsilon \cdot \vec{\mathbf{n}} &= 0 & \text{on } \mathcal{C}. \end{cases}$$

作尺度变换 $\mathbf{y} = \mathbf{x}/\varepsilon$ ，考虑位移解 \mathbf{u}^ε 的双尺度渐近展开形式：

$$\begin{cases} \mathbf{u}^\varepsilon(\mathbf{x}, t) = \mathbf{u}^{(0)}(\mathbf{x}, \mathbf{y}, t) + \varepsilon \mathbf{u}^{(1)}(\mathbf{x}, \mathbf{y}, t) + \varepsilon^2 \mathbf{u}^{(2)}(\mathbf{x}, \mathbf{y}, t) + \cdots, \\ \frac{\mathrm{d}}{\mathrm{d}x_i} = \frac{\partial}{\partial x_i} + \frac{1}{\varepsilon} \frac{\partial}{\partial y_i}. \end{cases}$$

模型推导

将双尺度展开式代入方程，通过比较 ε 不同次幂便得到一系列方程：

$$(1) \quad \varepsilon^{-2} \begin{cases} \frac{\partial}{\partial y_j} (a_{ijkl} e_{ykl}(\mathbf{u}^{(0)})) = 0, & \text{in } Y_s, \\ a_{ijkl} e_{ykl}(\mathbf{u}^{(0)}) n_j = 0, & \text{on } C_Y^\pm; \end{cases}$$

$$(2) \quad \varepsilon^{-1} \begin{cases} \frac{\partial}{\partial y_j} (a_{ijkl} (e_{xkl}(\mathbf{u}^{(0)}) + e_{ykl}(\mathbf{u}^{(1)}))) = 0, & \text{in } Y_s, \\ a_{ijkl} (e_{ykl}(\mathbf{u}^{(1)}) + e_{xkl}(\mathbf{u}^{(0)})) n_j = 0, & \text{on } C_Y^\pm; \end{cases}$$

$$(3) \quad \varepsilon^0 \begin{cases} \frac{\partial}{\partial x_j} a_{ijkl} (e_{xkl}(\mathbf{u}^{(0)}) + e_{ykl}(\mathbf{u}^{(1)})) + \frac{\partial}{\partial y_j} a_{ijkl} (e_{xkl}(\mathbf{u}^{(1)}) + e_{ykl}(\mathbf{u}^{(2)})) = \rho \frac{\partial^2 u_i^{(0)}}{\partial t^2}, & \text{in } Y_s, \\ a_{ijkl} (e_{xkl}(\mathbf{u}^{(1)}) + e_{ykl}(\mathbf{u}^{(2)})) n_j = 0, & \text{on } C_Y^\pm. \end{cases}$$

$$\xrightarrow{(1)} \mathbf{u}^{(0)}(\mathbf{x}, \mathbf{y}, t) = \mathbf{u}^{(0)}(\mathbf{x}, t)$$

$$\mathbf{u}^{(1)}(\mathbf{x}, \mathbf{y}, t) = \mathbf{N}^{pq}(\mathbf{y}) e_{xpa}(\mathbf{u}^{(0)}(\mathbf{x}, t))$$

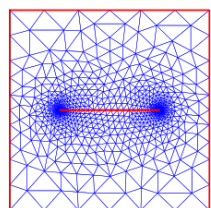
$$\xrightarrow{(2)} \begin{cases} \frac{\partial}{\partial y_j} (a_{ijkl} e_{ykl}(\mathbf{N}^{pq}) + a_{ijpq}) = 0, & \text{in } Y_s, \\ (a_{ijkl} e_{ykl}(\mathbf{N}^{pq}) + a_{ijpq}) n_j = 0, & \text{on } C_Y^\pm. \end{cases}$$

单胞函数满足的PDE

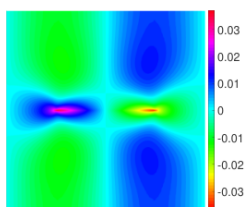
$$\begin{aligned} &= \rho \frac{\partial^2 u_i^{(0)}}{\partial t^2}, & \text{in } Y_s, \\ &= 0, & \text{on } C_Y^\pm. \end{aligned}$$

$$\xrightarrow{(3)} \begin{cases} \frac{\partial}{\partial x_j} (C_{ijkl} e_{xkl}(\mathbf{u}^{(0)})) = \rho \frac{\partial^2 u_i^{(0)}}{\partial t^2}, \\ C_{ijkl} = \int_{Y_s} a_{ijkl} + a_{ijmn} e_{ymn}(\mathbf{N}^{kl}) dy. \end{cases}$$

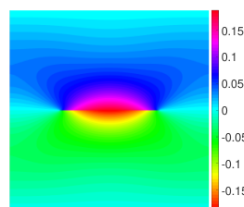
均匀化方程



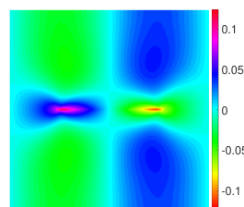
(a) FEM mesh



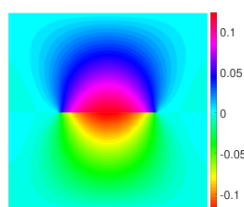
(b) \mathbf{N}_1^{11}



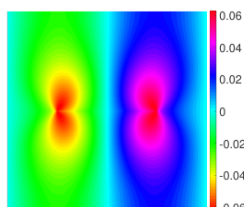
(c) \mathbf{N}_1^{12}



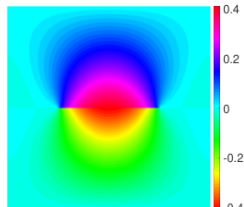
(d) \mathbf{N}_1^{22}



(e) \mathbf{N}_2^{11}



(f) \mathbf{N}_2^{12}



(g) \mathbf{N}_2^{22}

单胞函数的数值解

模型推导

RVE位移场、
速度场的双尺度
一阶近似解

RVE应变能密
度、动能密度
的双尺度近似

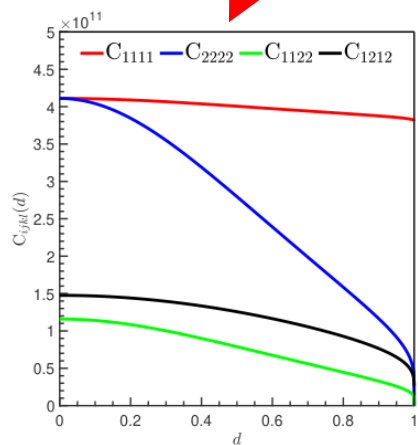
RVE单胞上总
应变能 W 、总
动能 K

计算微裂纹扩
展的动态能量
释放率

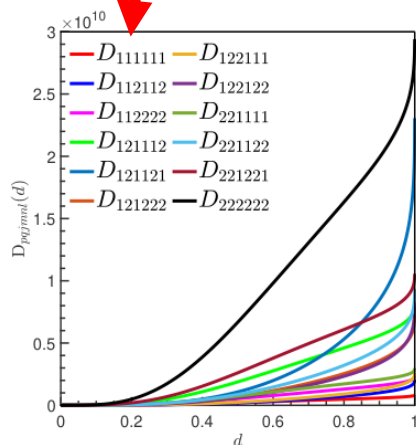
$$W = \int_{Y_\varepsilon} E \, dx = \frac{\varepsilon^2}{2} C_{pqkl} \langle e_{xpq}(\mathbf{u}^0) \rangle \langle e_{xkl}(\mathbf{u}^0) \rangle + \frac{\varepsilon^4}{2} D_{pqjmn} \left\langle \frac{\partial e_{xpq}(\mathbf{u}^0)}{\partial x_j} \right\rangle \left\langle \frac{\partial e_{xmn}(\mathbf{u}^0)}{\partial x_l} \right\rangle \quad K = \int_{Y_\varepsilon} T \, dx = \frac{\varepsilon^2}{2} \rho \left\langle \frac{\partial u_i^0}{\partial t} \right\rangle \left\langle \frac{\partial u_i^0}{\partial t} \right\rangle + \frac{\varepsilon^4}{2} \rho F_{pqmn} \left\langle \frac{\partial e_{xpq}(\mathbf{u}^{(0)}(\mathbf{x}, t))}{\partial t} \right\rangle \left\langle \frac{\partial e_{xmn}(\mathbf{u}^{(0)}(\mathbf{x}, t))}{\partial t} \right\rangle$$

$$G = -\frac{\varepsilon}{2} \frac{dC_{ijkl}(d)}{dd} \underbrace{\varepsilon_{ij} \varepsilon_{kl}}_{\text{应变}} - \frac{\varepsilon^3}{2} \frac{dD_{pqjmn}(d)}{dd} \underbrace{\varepsilon_{pq,j} \varepsilon_{mn,l}}_{\text{应变梯度}} - \frac{\varepsilon^3}{2} \rho \frac{dF_{pqmn}(d)}{dd} \underbrace{\dot{\varepsilon}_{pq} \dot{\varepsilon}_{mn}}_{\text{应变率}} = G_c(v).$$

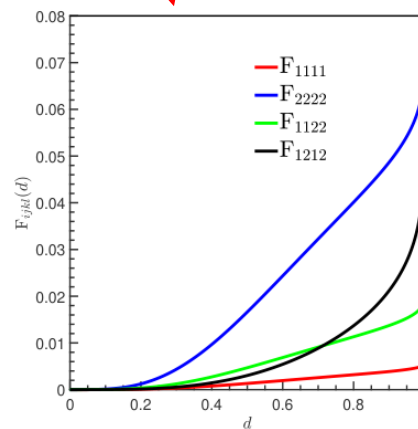
$$G = -\frac{d(W+K)}{dl} \frac{dl=\varepsilon d}{\varepsilon} - \frac{1}{\varepsilon} \frac{d(W+K)}{dd}$$



(a)



(b)



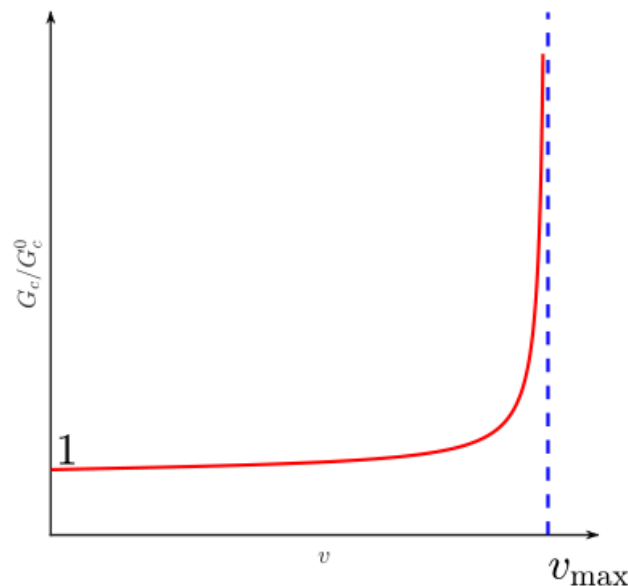
(c)

$$\begin{cases} C_{ijkl} &= \int_{Y_s} a_{ijkl} + a_{ijmn} e_{ymn}(\mathbf{N}^{kl}) \, dy \\ D_{pqjmn} &= \int_{Y_s} a_{ijkl} \mathbf{N}_i^{pq}(\mathbf{y}) \mathbf{N}_k^{mn}(\mathbf{y}) \, dy \\ F_{pqmn} &= \int_{Y_s} \mathbf{N}_i^{pq}(\mathbf{y}) \mathbf{N}_i^{mn}(\mathbf{y}) \, dy \end{cases}$$

模型没有引入任何一个宏观唯象可调参数!

图 4: (a) $C_{ijkl} - d$ curve; (b) $D_{pqjmn} - d$ curve; (c) $F_{ijkl} - d$ curve.

模型推导

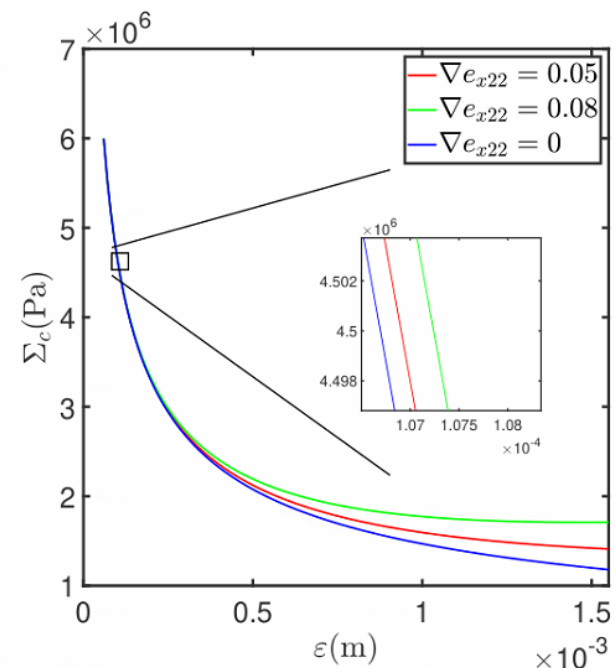
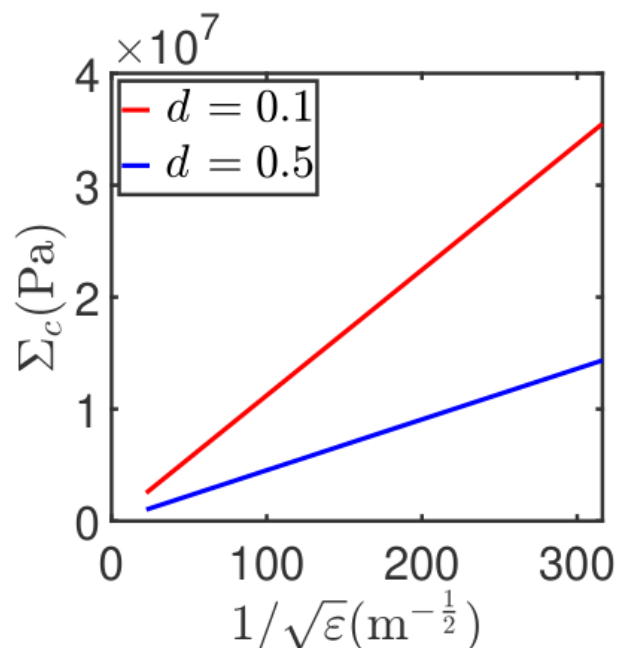
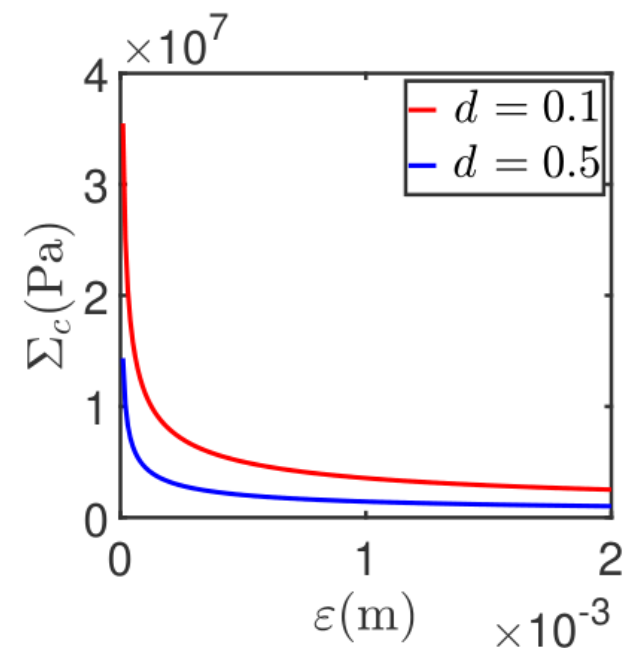


为了拟合Gross, D等人¹给出的临界断裂能 $G_c(v)$ 随裂纹扩展速度的变化曲线，用 $G_c(v)/G_c^0 = 1 + \lambda \tan(\pi v / 2C_R)$ 来描述临界能量释放率随裂纹速度的变化关系。其中， λ 为人工参数，它反映了极限断裂能对裂纹扩展速度的敏感性； G_c^0 为材料的静态临界断裂能； C_R 为Rayleigh波速，它是I-型裂纹扩展的极限速度且有如下近似²：

$$C_R = \frac{0.862 + 1.14\nu}{1 + \nu} \sqrt{\frac{E}{2\rho(1 + \nu)}}$$

1. Gross, D., Seelig, T., 2017. Fracture mechanics: with an introduction to micromechanics. Springer.
2. Freund, L.B., 1998. Dynamic fracture mechanics. Cambridge university press..

数值结果（准静态）

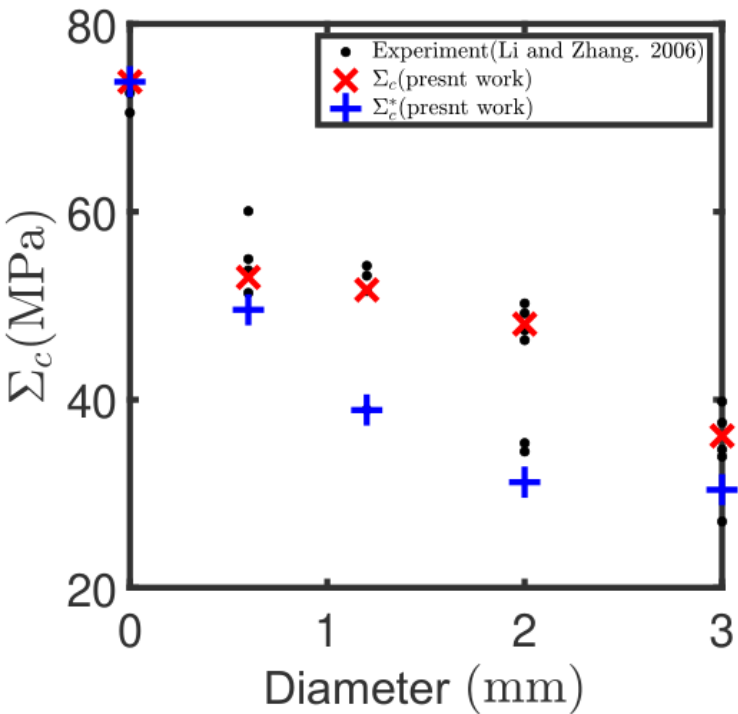
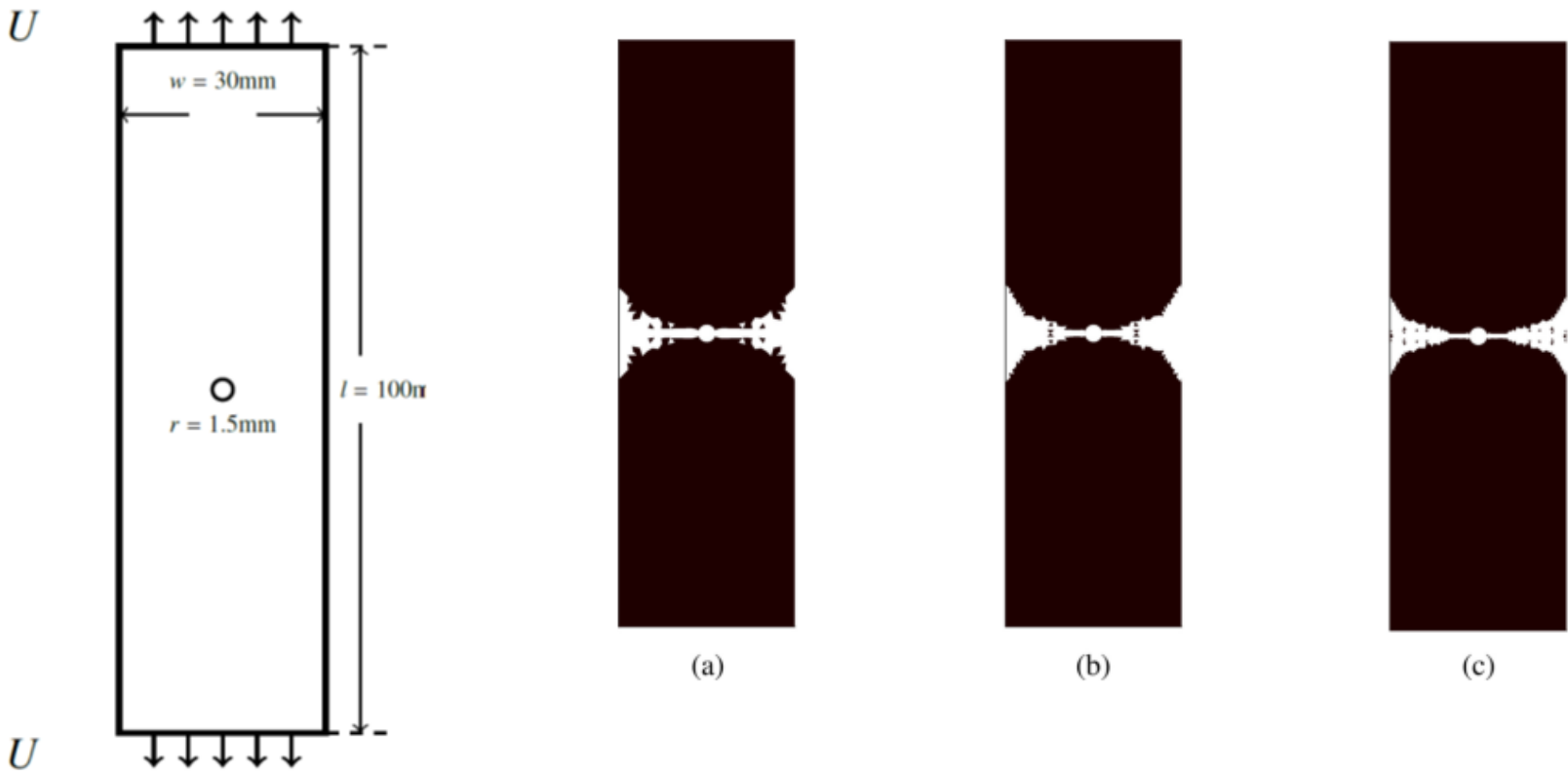


断裂强度尺度依赖：数值结果与经典Hall-Patch关系¹吻合。

特征尺度增加，应变梯度影响越来越明显

¹大量实验证实：多晶体的屈服强度 σ^* 与其晶粒大小 d 满足关系： $\sigma^* = \sigma^0 + kd^{-\frac{1}{2}}$

数值结果（准静态）



含孔有机玻璃（PMMA）板拉伸

不同网格下计算的损伤区

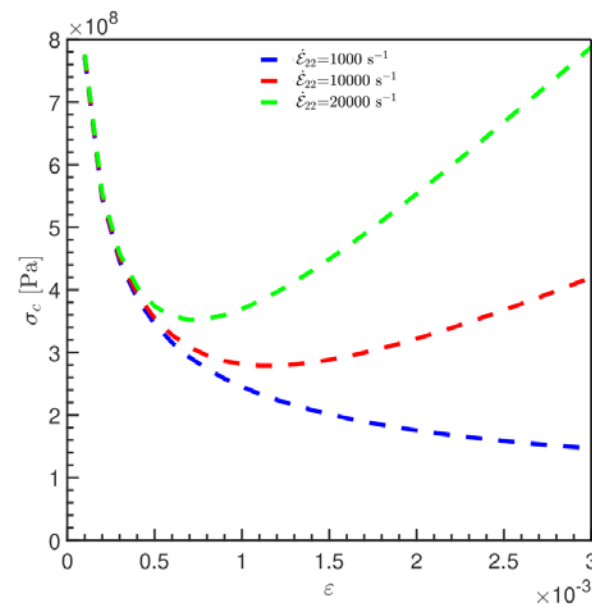
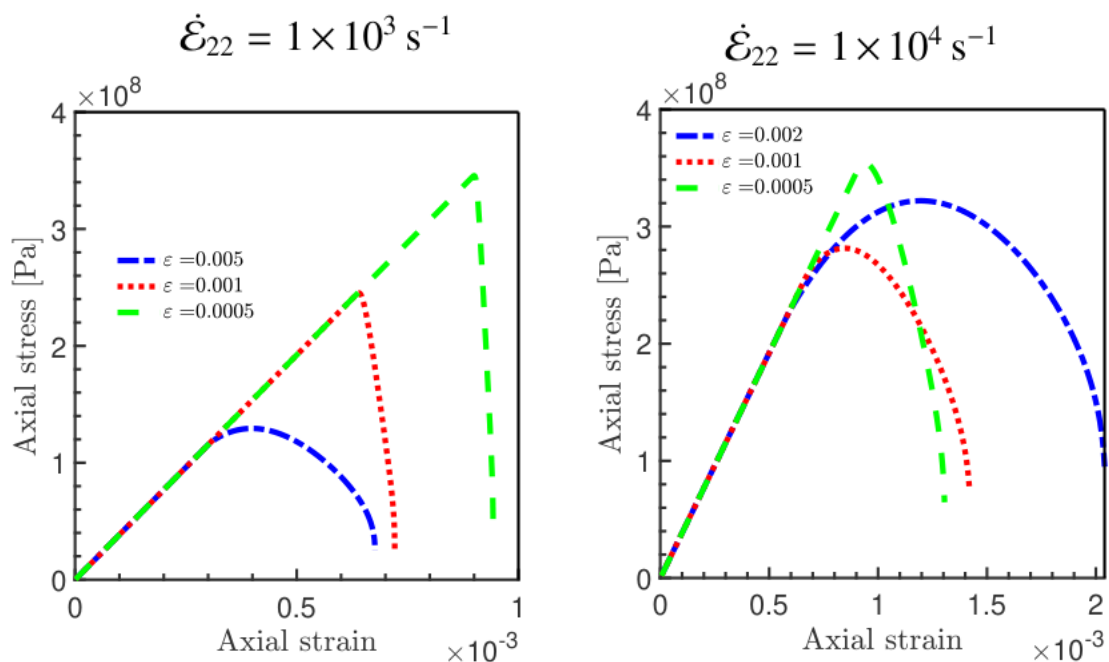
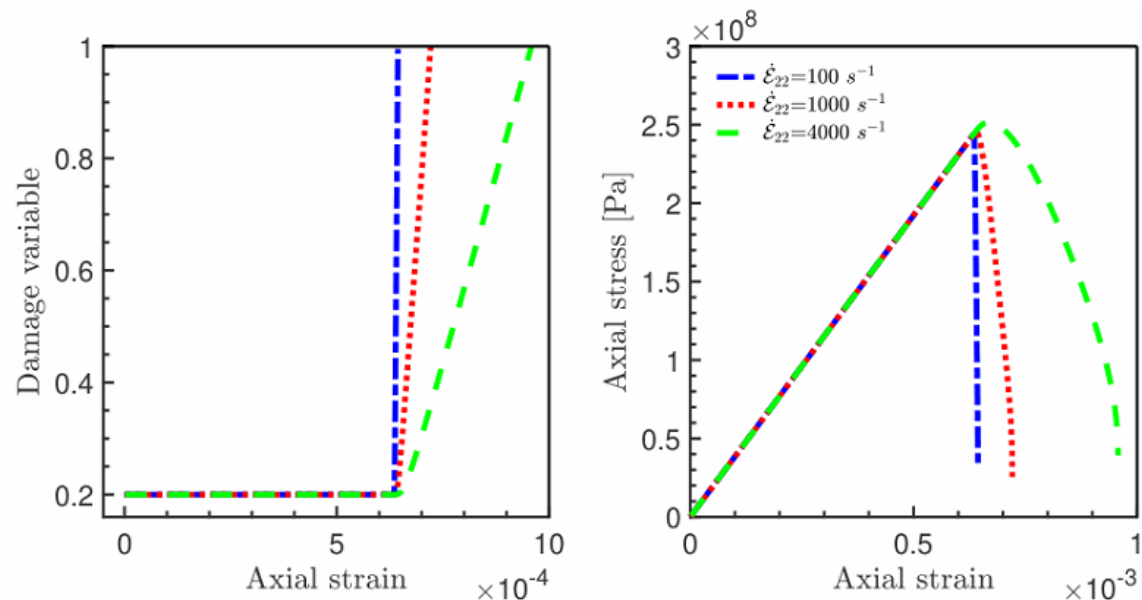
断裂强度：数值结果 VS. 实验结果

表 1: Critical loading stress (GPa), with $\varepsilon = 4 \times 10^{-3}$ m ($r = 1.5 \times 10^{-3}$ m).

	4976 elements	9336 elements	21248 elements
Σ_c^*	18.7	17.0	14.7
Σ_c	27.1	26.0	25.9

数值结果（动态）

损伤-应变、应力-应变关系的应变率影响曲线

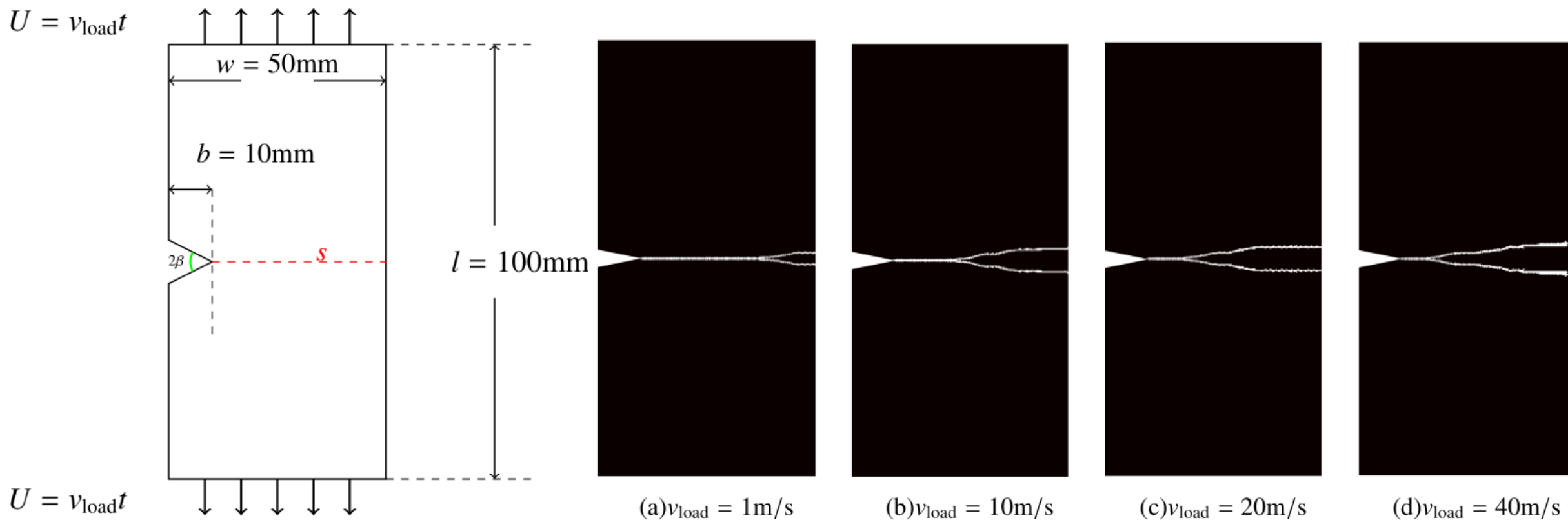


不同应变率下的应力-应变曲线

极限应力随微尺度的变化关系

数值结果（动态）

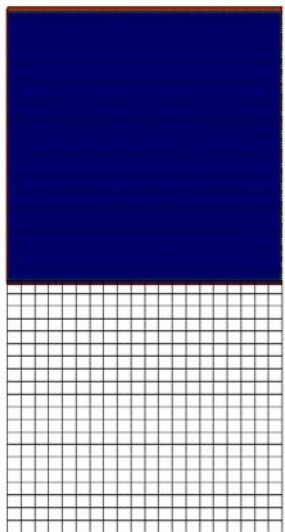
V型缺口单轴拉伸I型裂纹扩展的数值结果



取不同的加载速度进行模拟，得到最终的断裂区。

数值结果（动态）

层裂现象的数值模拟



经典层裂现象

层裂是指稀疏波叠加导致材料断裂的现象，它是爆炸冲击作用下的典型断裂破坏模式，也是认识**高应变率**下材料复杂动力学行为及其内在机理的重要手段。在武器研发，国防中均有重要应用。

(a) $v=250$ m/s



(b) $v=270$ m/s



(c) $v=350$ m/s



图 18 不同初始速度下的层裂剖面

【爆炸与冲击, 2019, 39(7), 073101】

数值结果（动态）

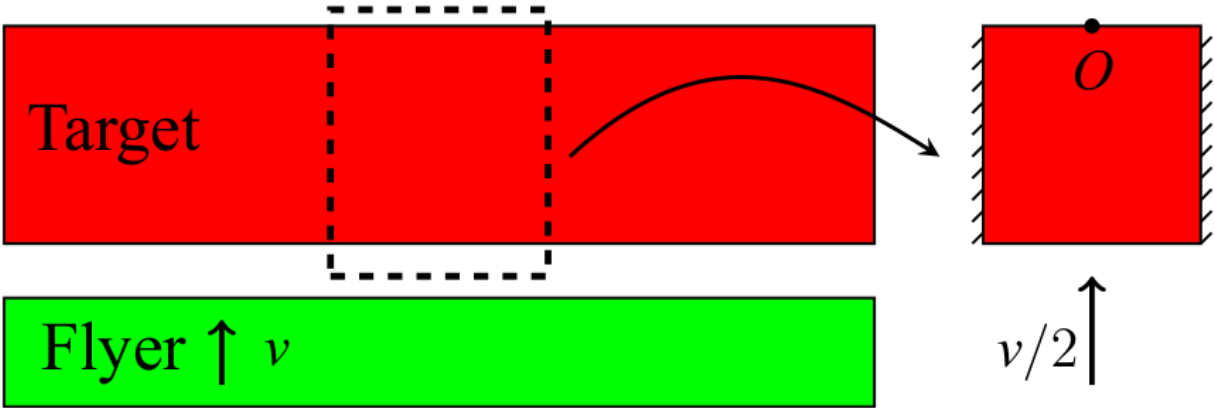
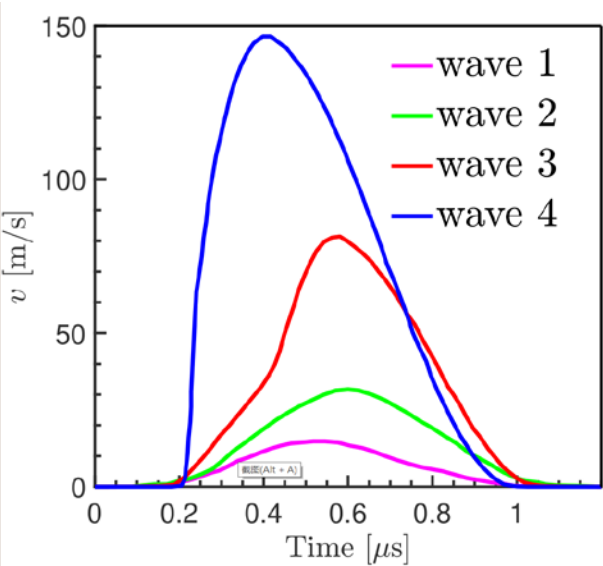
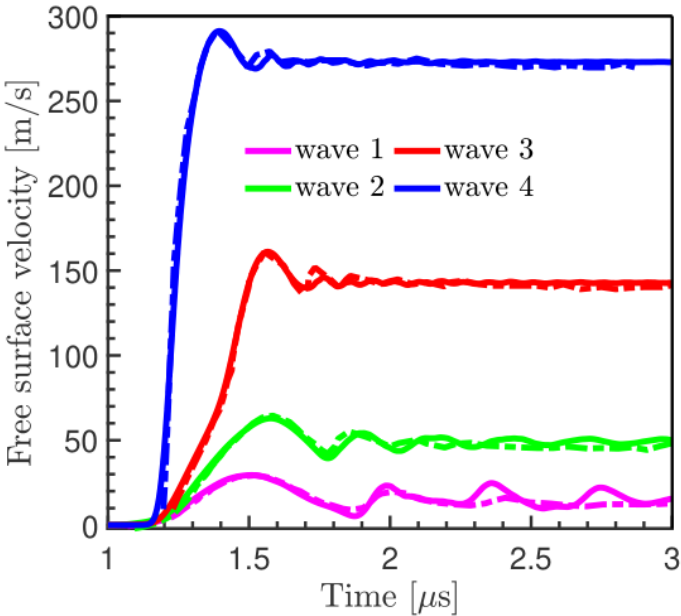
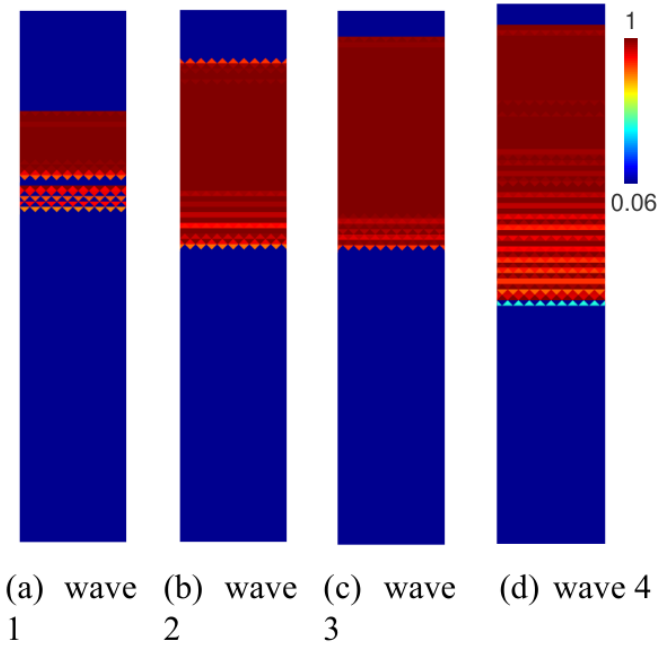


图 17: 冲击层裂简化模型.

自由面速度曲线：计算（实线）VS. 实验（虚线） Zinszner, J., Erzar, B., Forquin, P., Buzaud, E., 2015

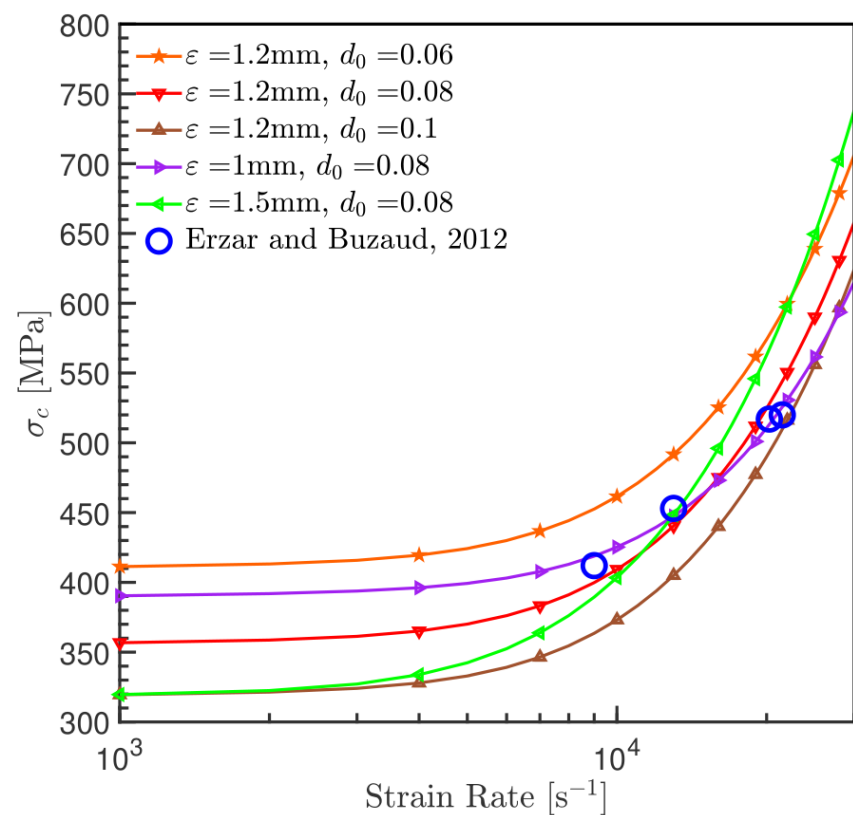


四种冲击波加载

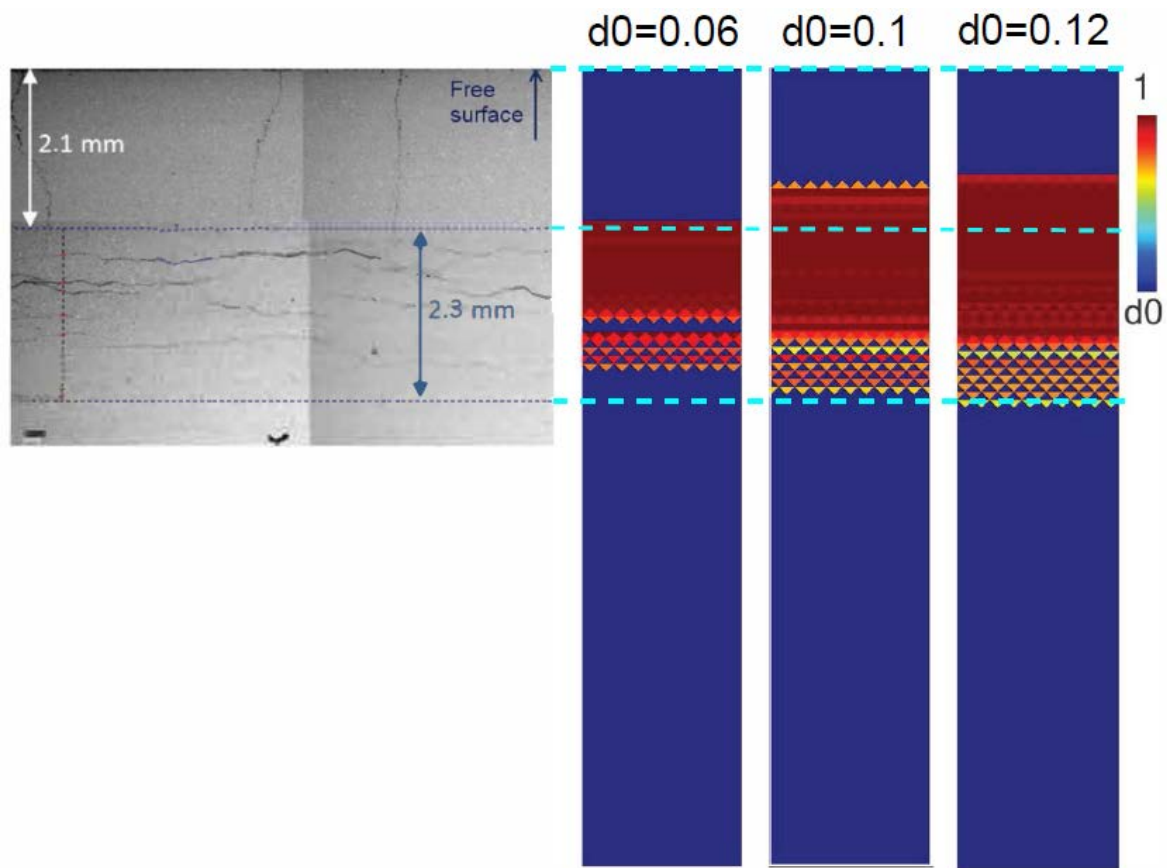


四种冲击波加载下最终损伤区的分布。

数值结果（动态）



层裂强度：计算VS.实验



层裂损伤区：计算VS.实验（Zinszner, J., Erzar, B., Forquin, P., Buzaud, E., 2015）

总结与展望

总结

- 基于严格双尺度分析构建模型，没有引入任何的唯象参数；
- 自然地将材料的微结构参数（ ε ）、应变梯度效应、应变率效应引入到失稳准则。
- 数值模拟结果与现有实验结果可以较好的吻合。

展望

- 脆性材料扩展到韧性材料；
- 将微结构分布的随机性引入双尺度断裂模型中；
- 实际工程中，材料的断裂行为受温度影响，需要考虑热力耦合的断裂模型；
- 对于单胞中裂纹更复杂的分布形态和受力状态，需要建立混合型断裂准则。

谢谢大家！